



склона Большого Кавказа // Сообщ. АН Груз. ССР, 1984. Т. 114, № 2. С. 353—356.

4. Жеру М. И. Глинистые образования Молдавии. Кишинев: Штиинца, 1978. 231 с.

5. Македонов А. В. Конкремции в угленосных отложениях как новый корреляционный признак // Мат-лы. Третьей геол. конф. Коми АССР. Сыктывкар: Коми кн. изд-во, 1948. С. 92—125.

6. Мележик В. А., Предовский А. А. Геохимия раннепротерозойского литогенеза (на примере северо-востока Балтийского щита). Л.: Наука, 1982. 208 с.

7. Щербаков Э. С. Терригенный девон западного склона Северного Урала. Л.: Наука, 1977. 160 с.

8. Юдович Я. Э. Конкремции или будины? // Народн. хоз-во Республики Коми, 1992, № 3. С. 528—542.

9. Юдович Я. Э. Опыт вещественно-генетической классификации конкреций и конкрециоидных пород: В порядке обсуждения // Литол. и полез. ископаемые, 1980. № 4. С. 110—123.

10. Юдович Я. Э. Региональная геохимия осадочных толщ. Л.: Наука, 1981. 276 с.

11. Юдович Я. Томская гастроль-2 // Вестник Ин-та геологии КомиНЦ УрО РАН, 2004. № 12 (120). С. 30—31.

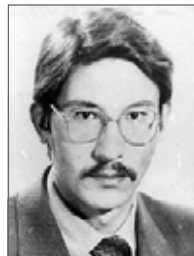
12. Юдович Я. Э. Феномен Шулеповой // Анна Николаевна Шулепова. Сыктывкар: Геопринт, 2005. С. 20—28.

13. Юдович Я. Э. Фосфатсодержащие силикатно-кремнистые конкреции в терригенных толщах // Постседиментационное минералообразование в осадочных формациях: Сб. тр. Тюмень: ЗапСибНИГНИ, 1985. С. 118—123.

14. Юдович Я. Э., Беляев А. А., Кетрис М. П. Геохимия и рудогенез черносланцевых формаций Пай-Хоя. СПб: Наука, 1998. 366 с.

15. Юдович Я. Э., Кетрис М. П. Основы литохимии. СПб: Наука, 2000. 479 с.

16. Юдович Я. Э., Шишкун М. А., Лютиков Н. В. и др. Геохимия и рудогенез черных сланцев Лемвинской зоны Севера Урала. Сыктывкар: Пролог, 1998. 340 с.



## ПЕТРОЛОГО-ГЕОДИНАМИЧЕСКАЯ МОДЕЛЬ ТИМАНО-СЕВЕРОУРАЛЬСКОГО РЕГИОНА

Д. г.-м. н. Д. Н. Ремизов  
kirul@rol.ru

В статье рассматривается вариант геологической истории Урала на основе анализа и синтеза данных по полярной и приполярной его части, включая фундамент Печорской плиты (ПП). В последние годы появилось большое количество новых прецизионных аналитических данных по магматическим проявлениям региона. Особенno это касается абсолютного датирования доуральских магматитов. Эти данные, а также основанные на них геодинамические интерпретации широко известны и обсуждались во многих работах. Мы не ставим целью обсуждение этих построений, так же как и им предшествовавших, поэтому ниже отсутствуют ссылки на многочисленные работы В. Н. Пучкова, В. В. Юдина, С. Н. Иванова, К. С. Иванова, С. В. Руженцева, С. Г. Самыгина, А. А. Соболевой, В. А. Андреичева, В. А. Душкина, Р. Г. Язевой, В. В. Бочкирева, М. А. Шишкина и многих других исследователей, перечисление которых заняло бы большую часть публикации. Здесь предлагается предварительный собственный анализ имеющихся на сегодня данных в виде петро-лого-геодинамической модели регио-

на, охватывающей период истории Урала, доступный для исследования, за исключением посторогенной стадии его развития (см. рисунок). Представляемая модель не является окончательной или в достаточной мере детальной; предполагается, что она может служить главным образом для выявления несоответствий в имеющихся данных и формулировке актуальных проблем геологии Урала.

### ДОУРАЛЬСКИЙ ЭТАП РАЗВИТИЯ РЕГИОНА

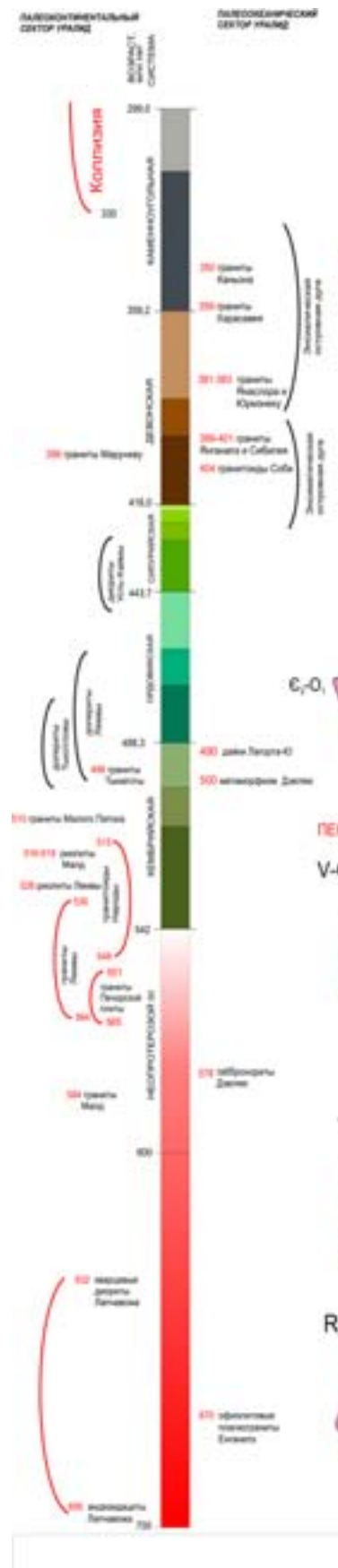
Доуральский этап охватывает возрастной интервал с позднего рифея до раннего (среднего?) кембрия. Горные породы региона сформированы не ранее 800 (750) млн лет. Этот вывод базируется на основе анализа осадконакопления в объеме доступных для наблюдения доурловикских толщ Центрально-Уральского поднятия (ЦУП). В современной интерпретации возрастной интервал формирования доурловикских толщ ЦУП составляет максимально 2 млрд лет, минимально — 1100 млн лет. До нижнего ордовика не описаны существенные перерывы в осадкона-

коплении и отсутствуют угловые несогласия. Общая мощность доурловикских отложений составляет максимально 8700 м, что дает скорость осадконакопления минимум — 435, максимум — 791 см/млн лет. Если сделать поправку на неизвестную нижнюю границу няртинского комплекса, уплотнение осадков в ходе метаморфизма, возможные перерывы в осадконакоплении и удвоить мощность доурловикских отложений, то и тогда мы получим среднюю скорость осадконакопления менее 20 м/млн лет. Такая скорость может характеризовать только внутриплитный режим, и то — в угнетенном состоянии. Между тем состав осадков соответствует скорее пассивной континентальной окраине, а в лаптапайское время происходило отчетливое турбидитное осадконакопление, что и привело В. Н. Пучкова к выводу о существовании байкальской молассы. Если взять минимальную, видимо, величину скорости осадконакопления на пассивной окраине в 50 м/млн лет ([1]; наши расчеты по данным [2]) и исключить из расчетов лаптапайскую молассу, то время, за которое мог сформироваться ран-

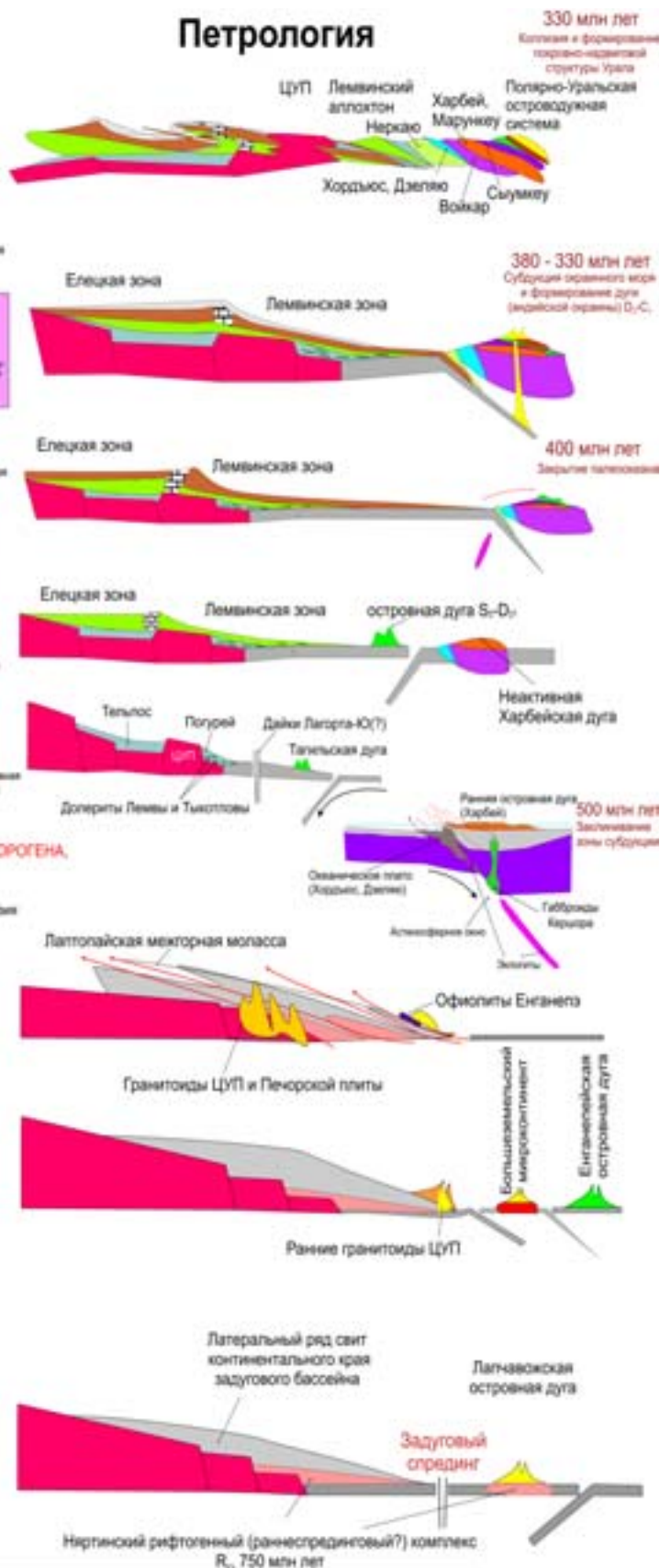
Продолжение на стр. 20



## Геодинамика



## Петрология



## УСЛОВНЫЕ ОБОЗНАЧЕНИЯ

Датировка  
Геологические данные  
Археологические данные  
Континентальная кора  
Океаническая кора

- Габбройлы
- Известники
- Окварцированные сланцы
- Задубровский сланец
- Субдуниты

**ВЕК** Восточно-Европейский  
комплекс  
**ЦУП** Центрально-Уральское  
поднятие



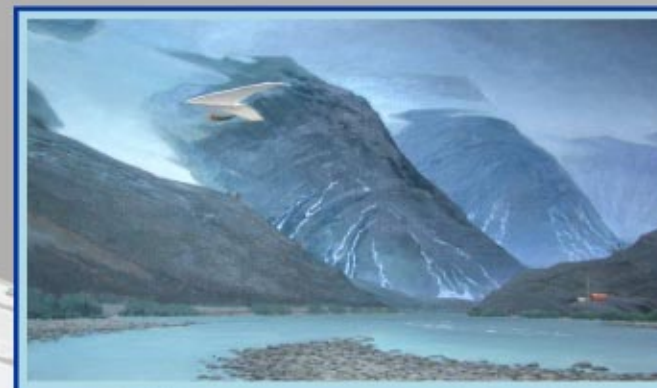
# ВЕРНИСАЖ ИНСТИТУТА ГЕОЛОГИИ



Г. Дмитриев. Начало. 1985



А. Лютоев. Серебро золотой осени. 1991



С. Добряков. Над Полярным Уралом.



Автор неизвестен. Без названия



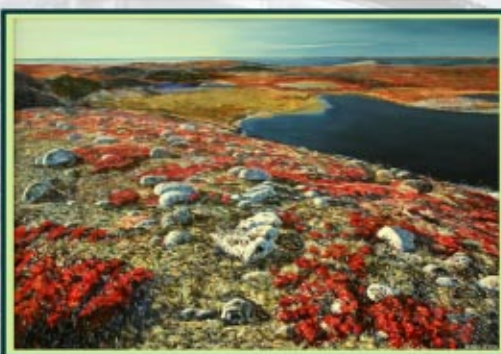
Т. Васильева. Без названия



Ю. Мартишев. Без названия. 2003



Куйкин. Соловецкая обитель. 2003



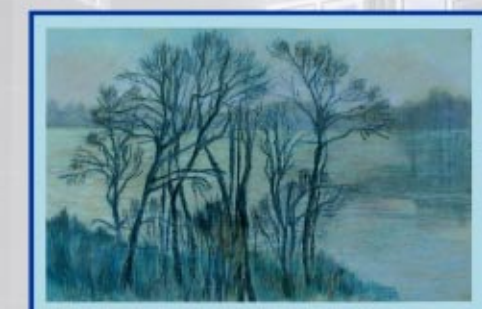
А. Иевлев. Тундра. 2002



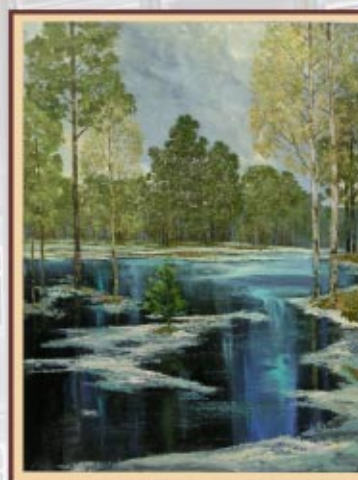
Т. Васильева. Без названия.



А.М. Лодка. 1990



Т. Васильева. Без названия



Автор неизвестен. Утро. 2003



Е. Нейшпапа. Весеннее половодье. 2000



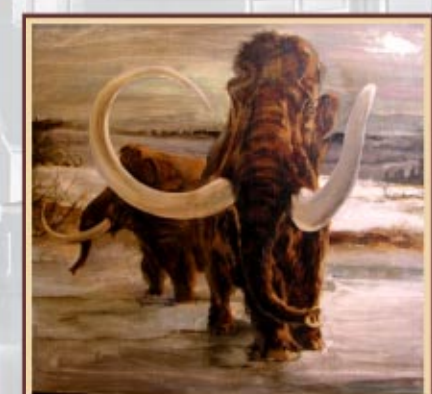
В. Куликов. Выпечка. 1987



С. Асташев. Без названия. 1989



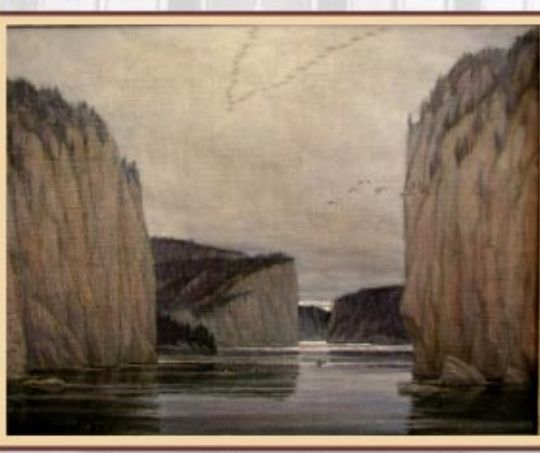
М. Червинский. Ручеек. 1996



О. Павлюк. Мамонты



С. Асташев. Кара. 1989



С. Торлопов. Шугор. Шор-кырта. 1999



С. Торлопов. Ветер дальних дорог (этюд). 1989



Согласие. 1977

С. Асташев. Триптих "Пай-Хой одного дня"

Равновесие. 1991



Сопротивление. 1991